

# 第3章

## 场效应管及其放大电路

### 3.1 主要内容

#### 3.1.1 结型场效应管

场效应管(FET)是一种电压控制型器件,它是利用电场效应来控制其电流的大小,从而实现放大。场效应管的种类很多,根据基本结构不同,主要分为两大类:结型场效应管(JFET)和金属-氧化物-半导体场效应管(MOSFET)。结型场效应管简称JFET,根据制造材料的不同又可分为N沟道和P沟道两种,它们都具有三个电极:栅极(G)、源极(S)和漏极(D),分别与三极管的基极、发射极和集电极相对应,如图3.1所示。在JFET中,源极和漏极是可以互换的。为实现场效应管栅源电压对漏极电流的控制作用,结型场效应管在工作时,栅极和源极之间的PN结必须反向偏置。

N沟道JFET栅极、沟道之间的PN结是反向偏置的,因此,其 $i_G \approx 0$ ,输入电阻的阻值很高;JFET的电流 $i_D$ 受 $u_{GS}$ 控制;预夹断前, $i_D$ 与 $u_{DS}$ 呈近似线性关系,预夹断后, $i_D$ 趋于饱和。

P沟道JFET工作时,其电源极性与N沟道JFET的电源极性相反。

JFET的输出特性用 $i_D = f(u_{DS})|_{u_{GS}=\text{常数}}$ 表示,如果FET栅极与源极之间接一可调负电源,由于栅源

电压越负,耗尽层越宽,沟道电阻就越大,相应的 $i_D$ 就越小。因此,改变栅源电压可得一族曲线,如图3.2所示。

JFET工作区域分为三个区:

截止区(夹断区):当 $u_{GS} < U_{GS(\text{off})}$ 时,导电沟道被夹断, $i_D = 0$ 称为截止区。

可变电阻区:又称非饱和区,是预夹断前的区域。此时沟道尚未出现预夹断,管子可以看做是一个由电压控制的可变电阻。

饱和区:又称恒流区或放大区,是预夹断后的区域,管子工作在局部出现预夹断的状态,漏极电流 $i_D$ 几乎不随 $u_{DS}$ 变化,主要由 $u_{GS}$ 决定。在此区域,场效应管可以看做一个恒流源。利用场效应管做放大管时,管子在此区域工作。

当 $u_{DS}$ 增大到一定程度时,栅漏极间PN结发生雪崩击穿, $i_D$ 迅速增大。如果不加限制,

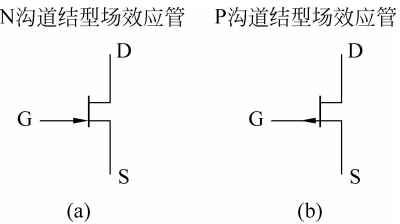


图3.1 结型场效应管符号

管子将会电击穿。管子不允许在此区域工作。

电流控制器件 BJT 的工作性能,是通过它的输入特性和输出特性及一些参数来反映的。FET 是电压控制器件,它除了用输出特性及一些参数来描述其性能外,由于栅极输入端基本上没有电流,故讨论它的输入特性是没有意义的。JFET 的转移特性是指在一定漏源电压  $u_{DS}$  下,栅源电压  $u_{GS}$  对漏极电流  $i_D$  的控制特性,用  $i_D = f(u_{GS})|_{u_{DS}=\text{常数}}$  表示,它反映了场效应管栅源电压对漏极电流的控制作用,如图 3.3 所示。当  $u_{GS}=0$  时,导电沟道电阻最小,  $i_D$  最大;当  $u_{GS}=U_{GS(off)}$  时,导电沟道被完全夹断,沟道电阻最大,此时  $i_D=0$ 。

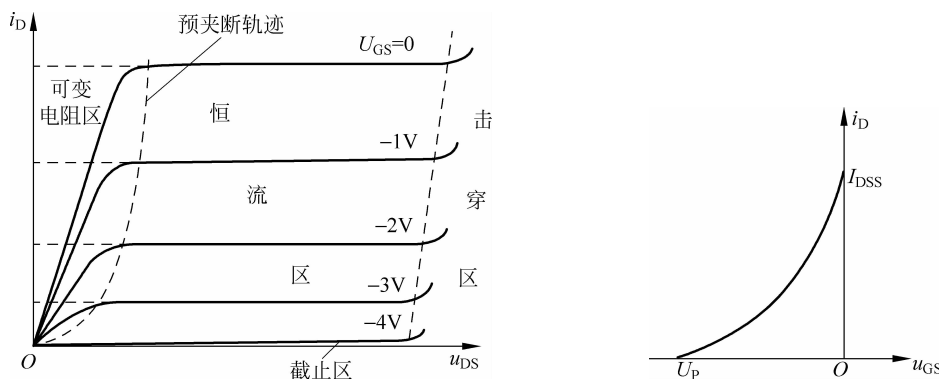


图 3.2 N 沟道结型场效应管的输出特性曲线

图 3.3 N 沟道结型场效应管的转移特性曲线

P 沟道结型场效应管与 N 沟道结型场效应管相比,除在结构上各部分半导体的类型相反,外电路所加的  $u_{GS}$ 、 $u_{DS}$  的极性相反外,在特性和工作原理方面是相同的,只是电压的极性和电流的方向相反。

### 3.1.2 绝缘栅型场效应管

绝缘栅型场效应管用 MOSFET 表示。绝缘栅型场效应管分为增强型和耗尽型两种,每一种又包括 N 沟道和 P 沟道两种类型。增强型和耗尽型的区别是:当  $u_{GS}=0$  时,存在导电沟道的称为耗尽型,不存在导电沟道的称为增强型。

MOSFET 的输出特性是指在栅源电压  $u_{GS}$  一定的条件下,漏极电流  $i_D$  与漏源电压  $u_{DS}$  之间的关系如图 3.4 所示。与结型场效应管相似,MOSFET 有三个工作区域:可变电阻区、饱和区、截止区。

N 沟道增强型 MOSFET 的工作区域如图 3.4(a)所示。

**截止区:** 当  $u_{GS} < U_T$  时,导电沟道尚未形成,  $i_D=0$ ,为截止工作状态。

**可变电阻区:** 当  $u_{DS} \leqslant (u_{GS} - U_T)$  时,  $u_{DS}$  较小。

**饱和区(又称恒流区或放大区):** 当  $u_{GS} > U_T$ ,且  $u_{DS} \geqslant (u_{GS} - U_T)$  时,MOSFET 进入饱和区。

N 沟道耗尽型 MOSFET 可以在正或负的栅源电压下工作。N 沟道增强型 MOS 管的开启电压为  $U_T$  为正值,而 N 沟道耗尽型 MOS 管的夹断电压为  $U_P$  负值。

N 沟道耗尽型 MOSFET 的输出特性和转移特性如图 3.5 所示。

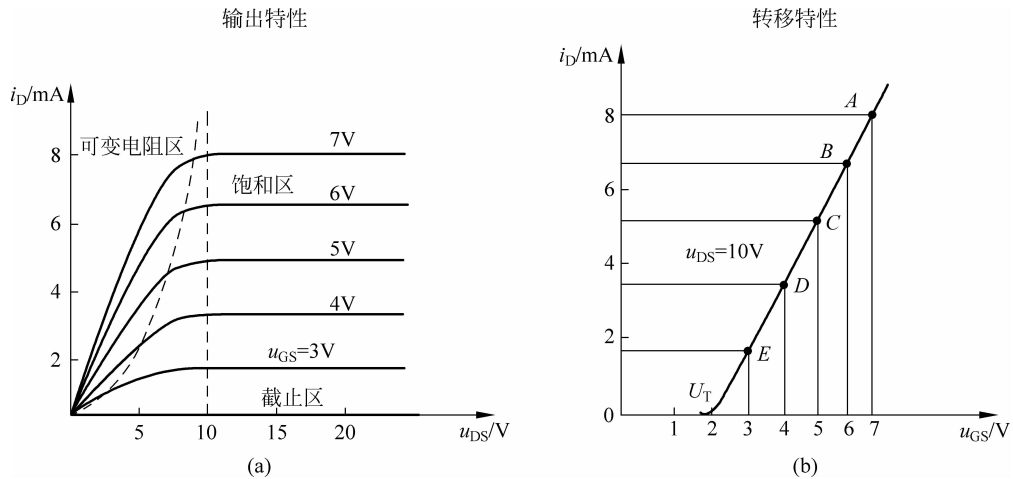


图 3.4 N 沟道增强型 MOS 管的特性

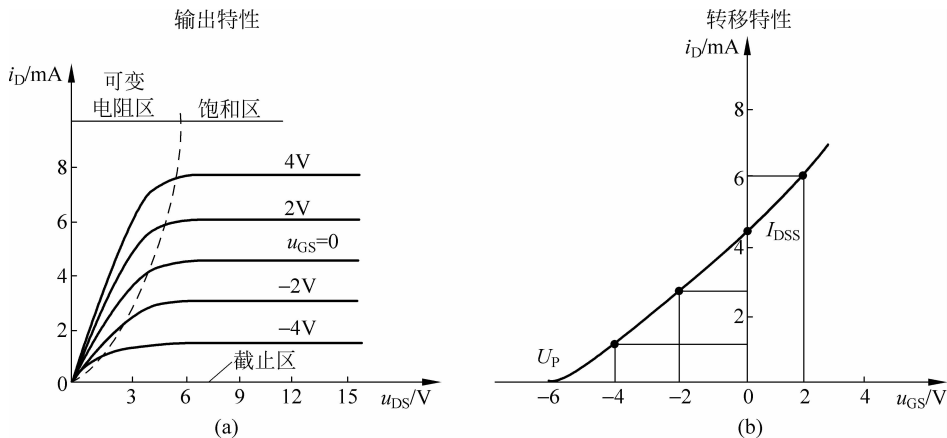


图 3.5 N 沟道耗尽型 MOS 管的特性

N 沟道耗尽型 MOS 管的工作区域同样可以分为截止区、可变电阻区和饱和区。所不同的是 N 沟道耗尽型 MOS 管的夹断电压为  $U_P$  负值, 而 N 沟道增强型 MOS 管的开启电压为  $U_T$  为正值。

P 沟道 MOSFET 工作时, 其电源极性与 N 沟道 MOSFET 的电源极性相反。与 N 沟道 MOS 管相似, P 沟道 MOS 管也有增强型和耗尽型两种。为了能正常工作, P 沟道 MOS 管外加的  $u_{DS}$  必须是负值, 开启电压  $U_T$  也是负值。而实际的电流方向为流出漏极。

### 3.1.3 场效应管放大电路

场效应管是一个电压控制器件, 不需要偏置电流, 需要一个合适的栅源极偏置电压  $U_{GS}$ 。场效应管放大电路常用的偏置电路主要有两种: 自偏压电路和分压式自偏压电路(见图 3.6)。自偏压的偏置方式不适用于增强型 FET 组成的放大电路。分压式偏置方式既适用于增强型 FET, 也适用于耗尽型 FET。画出场效应管放大电路的微变等效电路可求电路

的电压放大倍数、输入电阻和输出电阻。场效应管组成的三种基本放大电路,即共源极放大电路、共漏极放大电路、有共栅极放大电路,分别与晶体管的共射极放大电路、共集电极放大电路和共基极放大电路相对应。

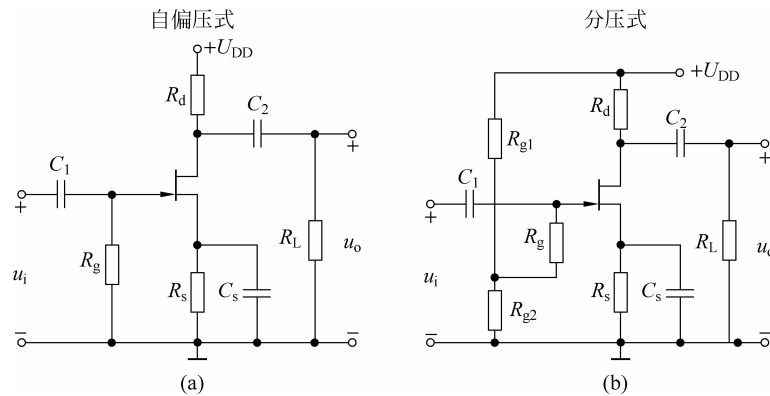


图 3.6 场效应管放大电路

求解 FET 的静态工作点时,将  $i_D$  与  $u_{GS}$  的关系式和  $i_D$  与  $u_{DS}$  的关系式联立求解,FET 工作于放大区时,所求得的 Q 点值为电路的静态工作点;否则所求得的 Q 点值没有意义。

图 3.7 为两种场效应管放大电路的微变等效电路图,由此可求电路的电压放大倍数、输入电阻和输出电阻。

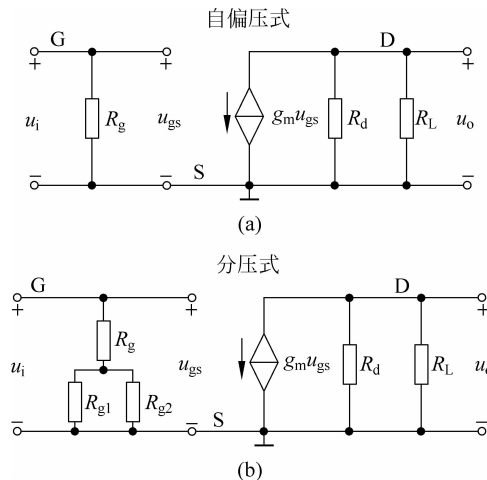


图 3.7 效应管放大电路对应的微变等效电路

## 3.2 基本概念自检

选择适当的答案填空

- (1) 场效应管是用 \_\_\_\_\_ 控制漏极电流的。

- (2) 结型场效应管发生预夹断后, 管子\_\_\_\_\_。  
 (3) 增强型 PMOS 管的开启电压\_\_\_\_\_。  
 (4) 当场效应管的漏极直流电流  $I_D$  从 2mA 变为 4mA 时, 它的低频跨导  $g_m$  将\_\_\_\_\_。  
 (5)  $U_{GS}=0$  时, 能够工作在恒流区的场效应管有\_\_\_\_\_、\_\_\_\_\_。  
 (6) FET 有两种主要类型即\_\_\_\_\_和\_\_\_\_\_, FET 是利用\_\_\_\_\_来控制其电流大小的半导体器件。  
 (7) 在 MOSFET 中, 从导电载流子的带电极性来看, 有\_\_\_\_\_管和\_\_\_\_\_管之分; 而按照导电沟道形成机理不同 NMOS 管和 PMOS 管又各有\_\_\_\_\_型和\_\_\_\_\_型两种。因此, MOSFET 有四种: \_\_\_\_\_、\_\_\_\_\_、\_\_\_\_\_和\_\_\_\_\_。  
 (8) 四个 FET 的转移特性分别如图 3.8 所示, 其中漏极电流  $i_D$  的假定正方向是它的实际方向。试问它们各是哪种类型的 FET?

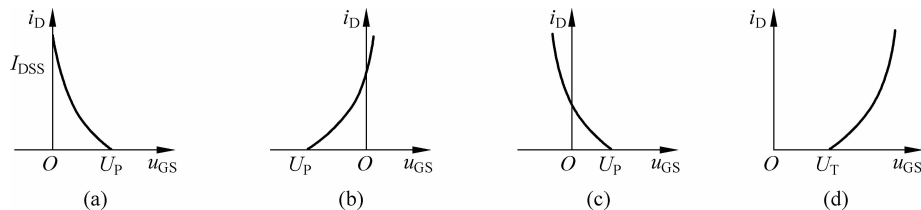


图 3.8 题(8)图

**答案:**

- (1) 棚源电压; (2) 进入恒流区; (3) 小于零; (4) 增大; (5) 结型管耗尽型 MOS 管; (6) MOSFET、JFET、电场效应; (7) N 沟道、P 沟道; 增强、耗尽; 增强型 N 沟道管、增强型 P 沟道管、耗尽型 N 沟道管、耗尽型 P 沟道管; (8) 图 3.8(a) 为 P 沟道 JFET; 图 3.8(b) 为 N 沟道耗尽型 FET; 图 3.8(c) 为 P 沟道耗尽型 FET; 图 3.8(d) 为 N 沟道增强型 FET。

### 3.3 典型例题

**例 3.1** 改正图 3.9 所示的各电路中的错误, 使它们有可能放大正弦波电压, 要求保留电路的共漏接法。

**解:**

对于图 3.9(a) 应在源极加电阻  $R_s$ 。

对于图 3.9(b) 应在漏极加电阻  $R_d$ 。

对于图 3.9(c) 应在输入端加耦合电容。

对于图 3.9(d) 应在  $R_g$  支路加  $-U_{GG}$ ,  $+U_{DD}$  改为  $-U_{DD}$ 。

改正电路如图 3.10 所示。

**例 3.2** 已知图 3.11(a) 所示电路中场效应管的转移特性和输出特性分别如图 3.11(b) 和图 3.11(c) 所示。

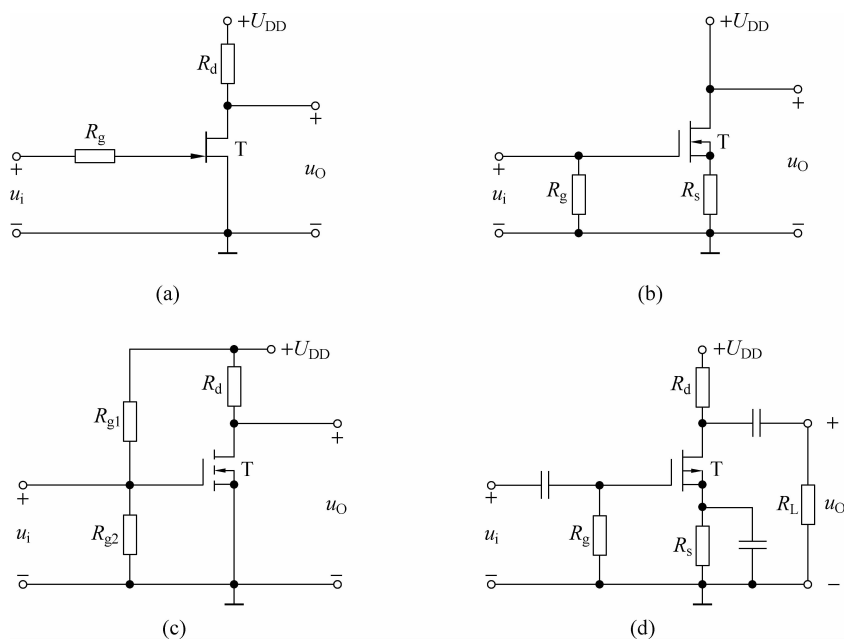


图 3.9 例 3.1 图

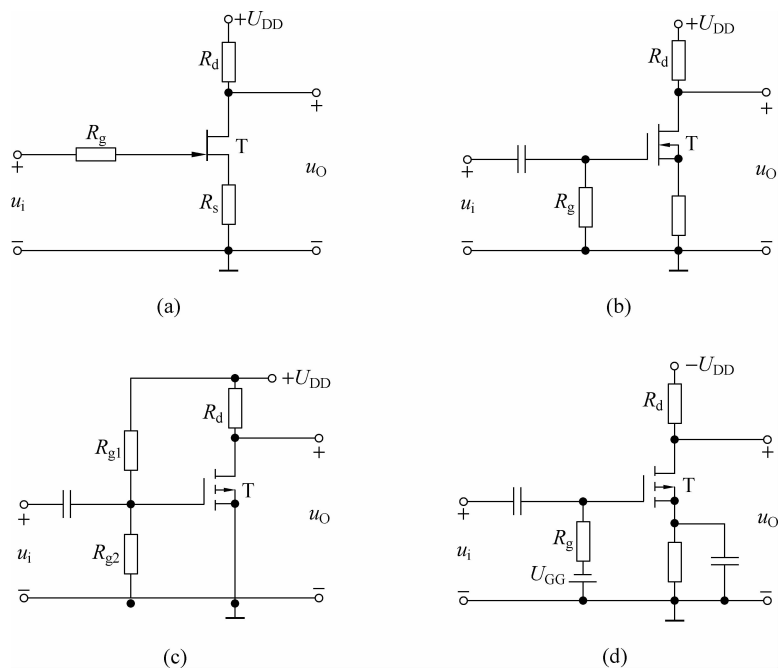


图 3.10 解例 3.1 图

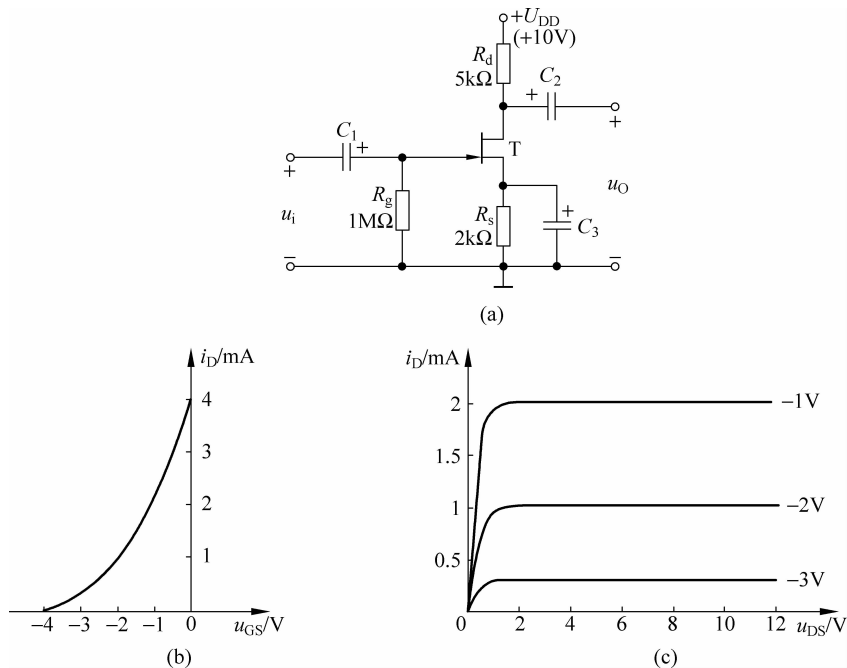


图 3.11 例 3.2 图

(1) 利用图解法求解 Q 点(见图 3.12);

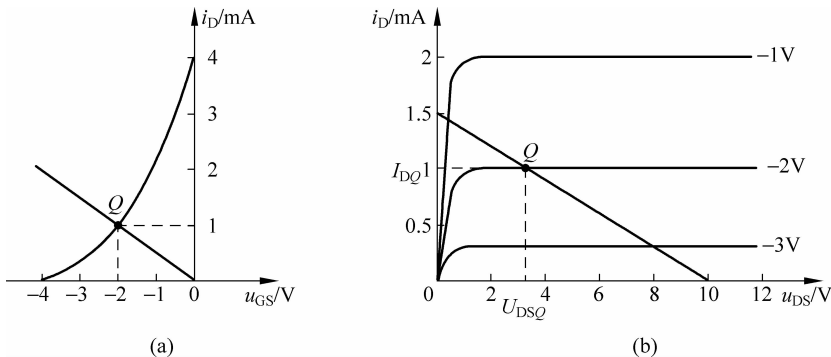


图 3.12 解例 3.2 图

(2) 利用等效电路法求解 \$\dot{A}\_u\$、\$R\_i\$ 和 \$R\_o\$。

$$g_m = \left. \frac{\partial i_D}{\partial u_{GS}} \right|_{U_{DS}} = \frac{-2}{U_{GS(\text{off})}} / \sqrt{I_{DS} I_{DQ}} = 1 \text{ mA/V}$$

$$\dot{A}_u = -g_m R_D = -5$$

$$R_i = R_g = 1M\Omega$$

$$R_o = R_d = 5k\Omega$$

**例 3.3** 分别判断图 3.13 所示的各电路中的场效应管是否有可能工作在恒流区。

解: 图 3.13(a)所示的电路: 可能。图 3.13(b)所示的电路: 不能。图 3.13(c)所示的

电路：不能。图 3.13(d)所示的电路：可能。

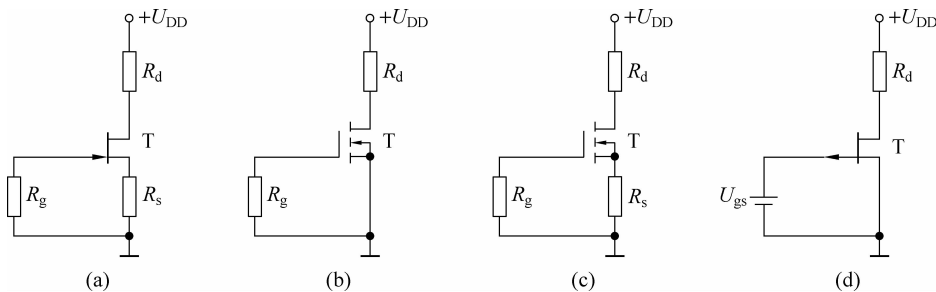


图 3.13 例 3.3 图

## 3.4 课后习题及解答

3.1 绝缘栅场效应管漏极特性曲线如图题 3.14(a)~图 3.14(d)所示。

说明图 3.14 中各曲线对应何种类型的场效应管。

根据图中曲线粗略地估计：开启电压  $U_T$ 、夹断电压  $U_P$  和饱和漏极电流  $I_{DSS}$  或  $I_{DO}$  的数值。

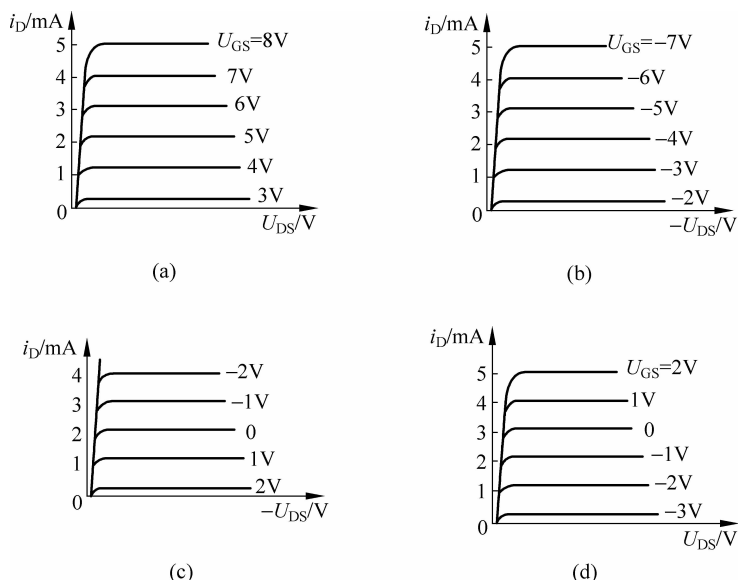


图 3.14 题 3.1 图

解：

图 3.14(a)：增强型 N 沟道 MOS 管， $U_{GS(th)} \approx 3V$ ,  $I_{DO} \approx 3mA$ ；

图 3.14(b)：增强型 P 沟道 MOS 管， $U_{GS(th)} \approx -2V$ ,  $I_{DO} \approx 2mA$ ；

图 3.14(c)：耗尽型 P 沟道 MOS 管， $U_{GSOFF} \approx 2V$ ,  $I_{DSS} \approx 2mA$ ；

图 3.14(d)：耗尽型 N 沟道 MOS 管， $U_{GSOFF} \approx -3V$ ,  $I_{DSS} \approx 3mA$ 。

3.2 场效应管漏极特性曲线同图 3.14 所示。分别画出各种管子对应的转移特性曲线

$$i_D = f(U_{GS})$$

解：在漏极特性上某一  $U_{DS}$  下画一条直线，该直线与每条输出特性的交点决定了  $U_{GS}$  和  $I_D$  的大小，逐点画出，连接成曲线，就是管子的转移特性了，分别如图 3.15 的各分图所示。

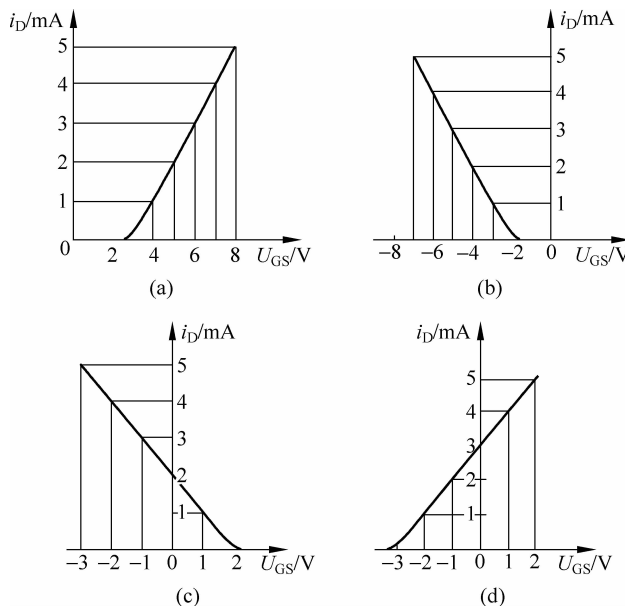


图 3.15 解题 3.2 图

**3.3** 图 3.16 所示为场效应管的转移特性曲线。试问：

- (1)  $I_{DSS}$ 、 $U_P$  值为多大？
- (2) 根据给定曲线，估算当  $i_D = 1.5\text{mA}$  和  $i_D = 3.9\text{mA}$  时， $g_m$  约为多少？
- (3) 根据  $g_m$  的定义： $g_m = \frac{di_D}{du_{GS}}$ ，计算  $u_{GS} = -1\text{V}$  和  $u_{GS} = -3\text{V}$  时相对应的  $g_m$  值。

解：

- (1)  $I_{DSS} = 5.5\text{mA}$ ,  $u_{GS(off)} = -5\text{V}$ ；
- (2)  $I_D = 1.5\text{mA}$  时， $g_m \approx 0.88\text{ms}$ ,  $I_D = 3.9\text{mA}$  时， $g_m \approx 1.76\text{ms}$ ；
- (3)  $u_{GS} = -1\text{V}$  时， $g_m \approx 0.88\text{ms}$ ,  $u_{GS} = -3\text{V}$  时， $g_m \approx 1.76\text{ms}$ 。

**3.4** 某 MOS 场效应的漏极特性如图 3.17 所示，试画出  $u_{DS} = 9\text{V}$  时的转移特性曲线，并定性分析跨导  $g_m$  与  $I_D$  的关系。

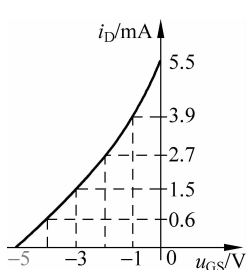


图 3.16 题 3.3 图

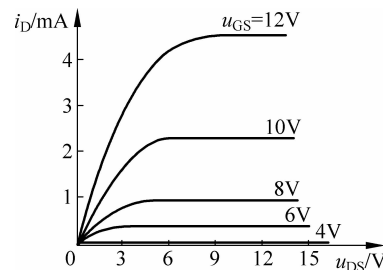


图 3.17 题 3.4 图

解：在  $u_{DS}=9V$  处作一垂直线，与各  $u_{GS}$  下的输出特性曲线相交，各交点决定了  $U_{GS}$  和  $I_D$ ，从而逐点描绘转移特性曲线，如图 3.18 所示。从转移特性曲线的某一点作切线，可得  $g_m$  的大小。

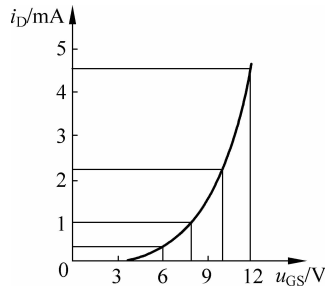


图 3.18 解题 3.4 图

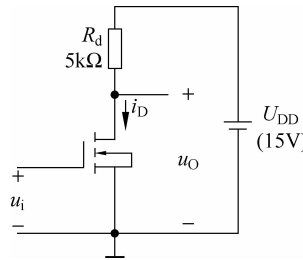


图 3.19 题 3.5 图

3.5 由 MOS 管组成的共源电路如图 3.19 所示，其漏极特性曲线同图 3.18。分析：

- (1) 当  $u_i=2V, 4V, 8V, 10V, 12V$  时，该 MOS 管分别处于什么工作区？
- (2) 若  $u_i=8+6\sin\omega t(V)$ ，试画出  $i_D$  和  $u_O(u_{DS})$  的波形。

解：

- (1)  $u_i=2V, 4V$  时，MOS 管工作在截止区；  
 $u_i=6V, 8V$  时，MOS 管工作在恒流区（放大区）；  
 $u_i=10V, 12V$  时，MOS 管工作在可变电阻区。
- (2)  $i_D$  和  $u_O(u_{DS})$  的波形如图 3.20 所示。

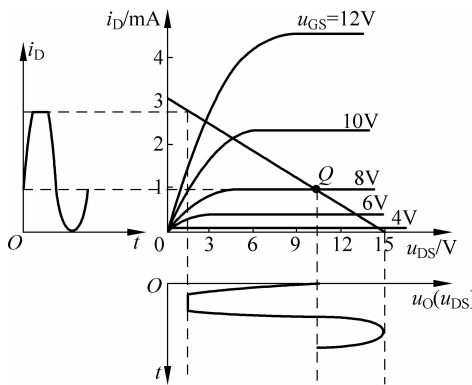


图 3.20 解题 3.5 图

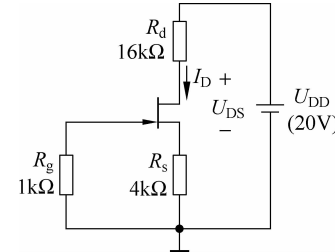


图 3.21 题 3.6 图

3.6 在图 3.21 所示的电路中，设 N 沟道 JFET 的  $I_{DSS} = 2mA$ ,  $U_P = -4V$ 。试求  $I_D$  和  $U_{DS}$ 。

解：由

$$U_{DS} = U_{DD} - I_D(R_d + R_s)$$

$$I_D = I_{DSS} \left(1 - \frac{U_{GS}}{U_{GS(off)}}\right)^2$$

$$U_{GS} = I_D R_s$$

求得:  $I_D = 0.5\text{mA}$   $U_{GS} = 10\text{V}$

3.7 在图 3.22 所示的 FET 基本放大电路中, 设耗尽型 FET 的  $I_{DS} = 2\text{mA}$ ,  $U_P = -4\text{V}$ ; 增强型 FET 的  $U_T = 2\text{V}$ ,  $I_{DO} = 2\text{mA}$ 。

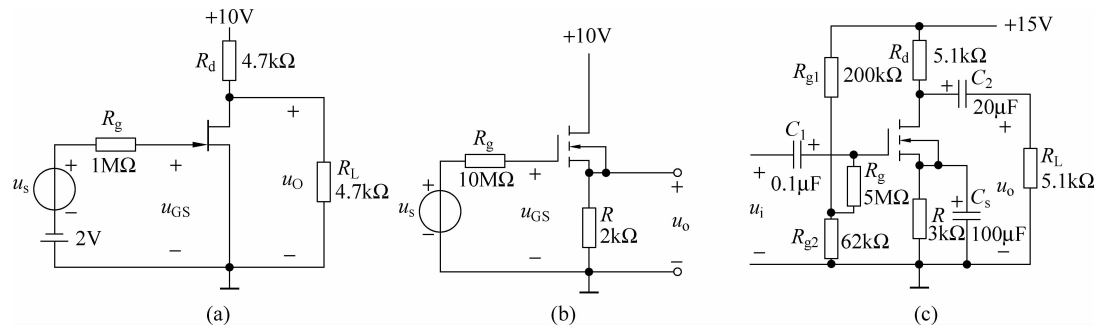


图 3.22 题 3.7 图

- (1) 计算各电路的静态工作点;
- (2) 画出交流通路并说明各放大电路的组态。

解:

(1) 对于图 3.22(a):  $I_{DQ} \approx 0.5\text{mA}$ ,  $U_{GSQ} = -2\text{V}$ ,  $U_{DSQ} \approx 3.8\text{V}$ ;

对于图 3.22(b):  $I_{DQ} \approx 0.76\text{mA}$ ,  $U_{GSQ} \approx -1.5\text{V}$ ,  $U_{DSQ} \approx 8.5\text{V}$ ;

对于图 3.22(c):  $I_{DQ} \approx 0.25\text{mA}$ ,  $U_{GSQ} = 2.8\text{V}$ ,  $U_{DSQ} \approx 13\text{V}$ 。

(2) 交流通路如图 3.23 所示。

图 3.23(a)为共源极放大电路(CS);

图 3.23(b)为共漏极放大电路(CD);

图 3.23(c)为共源极放大电路(CS)。

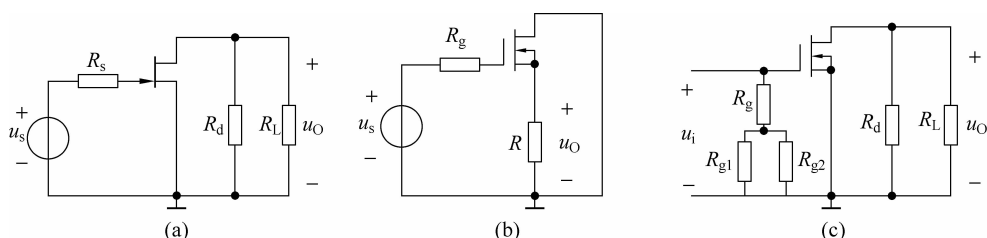


图 3.23 解题 3.7 图